

## مدل سازی فرآیند استخراج با آب دمای زیربحارانی از گیاهان دارویی

مریم خواجه نوری<sup>۱</sup>، علی حقیقی اصل<sup>۲\*</sup> و محمد حسن ایکانی<sup>۲</sup>

### چکیده

در این مطالعه، استخراج اسانس آویشن شیرازی با آب دمای زیربحارانی مورد بررسی قرار گرفت. بیشترین و مهم‌ترین بخش اسانس آویشن را ترکیب تیمول تشکیل می‌دهد. یک مدل ریاضی دو فازی برای شبیه‌سازی بازده استخراج در شرایط عملیاتی متفاوت در بستر پرشده ذرات به کار گرفته شد. سه مرحله عملده انتقال جرم شامل نفوذ حل‌شونده داخل ذرات، جابه‌جایی حل‌شونده درون لایه ساکن اطراف ذرات و شستشوی حل‌شونده با جریان توده سیال درنظر گرفته شد. موازنۀ جرم حالت ناپایدار برای حل‌شونده در فازهای جامد و زیربحارانی منجر به دو معادله دیفرانسیل پاره‌ای شد که به صورت عددی با استفاده از رابطه تعادلی خطی حل شدند. این مدل شامل سه پارامتر ضریب انتقال جرم، ضریب پراکندگی محوری و ضریب نفوذ موثر بود. آخرین پارامتر به عنوان پارامتر تنظیم مدل انتخاب شده و بقیه با استفاده از روابط تجربی موجود تخمین زده شدند. ضریب نفوذ موثر و انحراف میانگین داده‌ها برای شدت جریان‌های ۱، ۲، ۵،  $10^{-12}$   $m^2/s$  و  $10^{-11}$   $m^2/s$  به ترتیب  $0/180$ ،  $0/273$ ،  $0/294$  و  $0/294$  بود.

**واژگان کلیدی:**  
استخراج،  
آب دمای زیربحارانی،  
اسانس،  
مدل سازی.

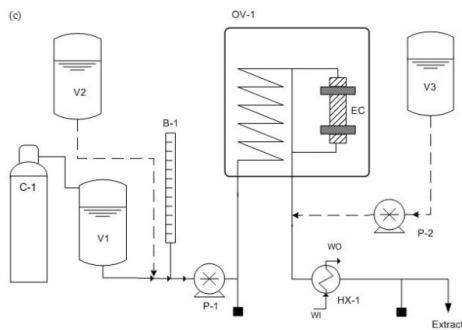
### ۱- مقدمه

از آن جایی که مدل سازی SWE هنوز در ابتدای توسعه است، سه دیدگاه برای مدل سازی استخراج با آب دمای زیربحارانی پیشنهاد می‌شود. اولین شیوه، مدل ترمودینامیکی ساده‌ای براساس تنها ضریب توزیع ترمودینامیکی  $K_D$  می‌باشد. در این مدل فرض می‌شود سینتیک مرحله واجذبی اولیه و تفکیک سیال-شبکه انجام شده سریع است و اثر قابل ملاحظه‌ای روی سرعت استخراج در مقایسه با شستشو ندارد [۵].

دومین شیوه، مدل واجذبی سینتیکی (تک-مکانی و دو-مکانی) براساس مدل انتقال جرمی می‌باشد که مشابه با مدل انتقال حرارت کره داغ است [۶]. در این شیوه از مقاومت انتقال جرم سیال صرف‌نظر و استخراج با نفوذ درونی ذرات کنترل می‌شود. این زمانی اتفاق می‌افتد که جریان سیال به اندازه کافی سریع باشد تا تغليظ‌سازی

استخراج با آب تحت فشار با دمای بالای  $100^{\circ}\text{C}$  و زیر  $374^{\circ}\text{C}$ ، استخراج با آب دمای زیربحارانی<sup>۱</sup> نامیده می‌شود [۱]. استخراج با آب دمای زیربحارانی شیوه جدید و توانمندی در فرآیندهای جداسازی است. تحقیقات آزمایشگاهی فراوانی تاکنون در زمینه استخراج با آب دمای زیربحارانی انجام شده است ولی بندرت به مدل سازی این فرآیندها پرداخته شده است [۴-۲].

\* پست الکترونیک نویسنده مسئول: ahaghighi@semnan.ac.ir  
 ۱. دانشجوی دکتری، دانشکده مهندسی شیمی، نفت و گاز، دانشگاه سمنان  
 ۲. دانشیار، دانشکده مهندسی شیمی، نفت و گاز، دانشگاه سمنان  
 ۳. دانشیار پژوهشکده فناوری‌های شیمیابی، سازمان پژوهش‌های علمی و صنعتی ایران  
<sup>۱</sup> Subcritical water extraction (SWE)

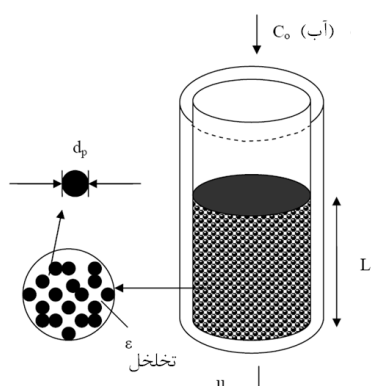


شکل ۱- شماتیکی از فرآیند استخراج با آب دمای زیر بحرانی، شامل: B-1 بورت، C-1 کپسول نیتروژن، EC مبدل حرارتی، OV-1 آون، P-1,2 پمپ‌ها، V-1 تانک آب، V-2 تانک حلال شستشو، WI ورودی آب، V-3 خروجی آب [۱۱].

### ۳- توصیف مدل

در این بررسی، یک مدل دوفازی شامل فازهای جامد و سیال زیر بحرانی مدنظر گرفته شد. ظرف استخراج به شکل سیلندری در نظر گرفته شد که با ذرات جامد کروی هم اندازه پر شده است (شکل ۲).

در فرآیند استخراج با آب دمای زیر بحرانی فرض شد که ۳ مرحله پی درپی وجود داشته باشد. اول: حل شونده‌ها از هسته مواد گیاهی به سطح نفوذ کنند. سپس آن‌ها از سطح وارد سیال استخراج شوند و به توده سیال منتقل شوند. سرعت استخراج با سرعت کندترین مرحله محدود می‌شود.



شکل ۲- شماتیک کلی بستر ثابت استخراج با آب دمای زیر بحرانی

حل شونده خاص، به خوبی زیر محدوده کنترل شده ترمودینامیکی آن باشد. سومین شیوه براساس موازنۀ جرم دیفرانسیلی در طول بستر است. این مدل در ابتدا توسعه گوتو و همکارانش (۱۹۹۳) برای پیش‌بینی غلظت‌های حل شونده در هر دو فاز توده و جامد توسعه یافت [۷]. اصلاحات بیشتری توسط دانفورد، گوتو و تمی (۱۹۹۸) روی این مدل انجام شد [۸]. از آن زمان به بعد این مدل در استخراج با سیال فوق بحرانی به کار گرفته شد. هم چنین گودرزنیا و ایکانی (۱۹۹۸) نیز مدل اصلاح شده‌ای براساس موازنۀ جرم دیفرانسیلی را برای مدل سازی استخراج با سیال فوق بحرانی به کار گرفتند [۹].

قریشی و همکاران (۲۰۰۸)، استخراج و مدل سازی مانیتول از برگ‌های زیتون را با آب دمای زیر بحرانی انجام دادند [۱۰]. ایشان از اثر پراکندگی محوری صرف نظر و با شیوه تحلیلی و به روش تبدیل لاپلاس غلظت خروجی و غلظت جامد را حل کردند.

هدف از این مقاله توسعه و به کارگیری مدل ریاضی دوفازی (فاز جامد و فاز زیر بحرانی) برای شبیه‌سازی بازده استخراج با آب دمای زیر بحرانی پیوسته انسانس آویشن شیرازی<sup>۱</sup> می‌باشد [۱۱]. اثر پراکندگی محوری نیز در معادلات لحاظ شده است. این مدل می‌تواند برای مطالعات سینتیکی و ارزیابی اثرات شرایط عملیاتی مختلف روی فرآیند استخراج استفاده شود.

### ۲- فرآیند و روش استخراج

آزمایش‌ها با استفاده از تجهیزات نشان داده شده در شکل ۱ انجام شدند. استخراج‌ها با آب دمای زیر بحرانی با ۴ گرم گیاه خشک خرد و مشبندی شده با الکهای استاندارد انجام شدند. عصاره جمع آوری شده، استخراج مایع-مایع شده و پس از فیلتراسیون به GC تزریق شدند [۱۱]. در اعتبار سنجی مدل از غلظت در فاز آب استفاده شد.

<sup>۱</sup> Zataria Multiflora Boiss

معادله بالا بر حسب پارامترهای زمان و مکان بدون بعد به صورت زیر است:

$$\frac{\partial C_s}{\partial t} = \frac{2}{Pe_p} \frac{L}{R} \left[ \frac{1}{X^2} \frac{\partial}{\partial X} \left( X^2 \frac{\partial C_s}{\partial X} \right) \right] \quad (2)$$

$$t=0, \quad 0 \leq X \leq 1, \quad C_s = C_{so} \quad (\text{الف})$$

$$t>0, \quad X=0, \quad \frac{\partial C_s}{\partial X}=0 \quad (\text{ب})$$

$$t>0, \quad X=1, \quad -\frac{\partial C_s}{\partial X} = Bi(c_{fs} - C_f) \quad (\text{ج})$$

عدد پکله  $Pe_p$  برای ذره جامد  $\frac{2u_0 R}{D_m \epsilon}$ ، سرعت ظاهری سیال  $u_0$ ، عدد بایویت  $Bi = \frac{k_f R}{D_m}$ ،  $t$  زمان بدون بعد  $(\frac{u_0 t}{R})$  و  $X$  شاعع بدون بعد  $(\frac{u_0 t}{R})$  میباشد.

هم چنین موازنہ جرم برای المان حجم محدود در فاز آب دمای زیربحاری و شرایط مرزی آن به صورت زیر است:

$$\frac{\partial C_f}{\partial t} = D_L \frac{\partial^2 C_f}{\partial y^2} - u \frac{\partial C_f}{\partial y} - \frac{3(1-\epsilon)}{R \epsilon} k_f (C_f - C_s|_{X=1}) \quad (3)$$

$$t=0, \quad 0 \leq y \leq L, \quad C_f = 0 \quad (\text{الف})$$

$$y=0^+, \quad D_L \frac{\partial C_f}{\partial y} = -u (C_f|_{z=0^-} - C_f|_{z=0^+}) \quad (\text{ب})$$

$$t>0, \quad y=L, \quad \frac{\partial C_f}{\partial t} = 0 \quad (\text{ج})$$

ضریب پراکندگی محوری  $D_L$  و ارتفاع بستر  $L$  میباشد. موازنہ جرم بدون بعد در فاز توده سیال به صورت زیر است:

$$\frac{\partial C_f}{\partial t} = \frac{1}{Pe_b} \frac{\partial^2 C_f}{\partial Y^2} - \frac{\partial C_f}{\partial Y} - \frac{6(1-\epsilon)L}{\epsilon R} \frac{Bi}{Pe_p} (C_f - c_{fs})$$

مولفه طولی بدون بعد در بستر  $Y = \frac{y}{L}$ ، عدد پکله برای بستر  $Pe_b = \frac{u_0 L}{D_L \epsilon}$  میباشد. جمله آخر رابطه بالا میتواند براساس عدد بدون بعد استانتون نوشته شود:

$$\frac{L(1-\epsilon)k_f a}{\epsilon u} = \frac{L(1-\epsilon)k_f a}{u_0} = St$$

بنابراین میتوان نوشت:

فرضیات مهمی که مدل بر آن اساس استوار شد عبارتند از:

- فرآیند دما و فشار ثابت است.
  - خواص فیزیکی آب دمای زیربحاری ثابت است.
  - از نیمروز غلظت در جهت شعاعی در ظرف استخراج صرفنظر شد.
  - رژیم جریان، پراکنده محوری فرض شد.
  - اسنس بهمنزله ترکیبی واحد، اختیار گردید و از اثرات احتمالی دیگر اجزای موجود در ذرات گیاهی بر فرآیند استخراج، در دما و فشار موردنظر، صرفنظر شد.
  - ضریب نفوذ حل شونده در ذرات جامد ثابت فرض شد.
  - غلظت حل شونده موجود در ذرات جامد کروی، مستقل از مؤلفه های  $\theta$  و  $\phi$  در نظر گرفته شد.
- با توجه به فرضیات یاد شده، موازنہ جرم در فاز جامد و فاز آب دمای زیربحاری، هر دو به معادلات دیفرانسیل پارهای تبدیل شدند. از موازنہ جرم ناپایدار حل شونده با ضریب نفوذ موثر ثابت در یک ذره کروی شکل، تغییرات غلظت نسبت به شاعع کره در هر زمان دلخواه چنین به دست آمد:

$$\frac{\partial C_s}{\partial t} = D_m \frac{1}{r^2} \frac{\partial}{\partial r} (r^2 \frac{\partial C_s}{\partial r}) \quad (1)$$

$$t=0, \quad 0 \leq r \leq R, \quad C_s = C_{so} \quad (\text{الف})$$

$$t>0, \quad r=0, \quad \frac{\partial C_s}{\partial r} = 0 \quad (\text{ب})$$

$$t>0, \quad r=R, \quad -D_m \frac{\partial C_s}{\partial r} = k_f (c_{fs} - c_f) \quad (\text{ج})$$

در معادله بالا،  $C_s$  غلظت حل شونده در ذره جامد،  $C_{so}$  غلظت اولیه حل شونده،  $C_f$  غلظت حل شونده در فاز سیال،  $C_{fs}$  غلظت حل شونده در سطح ذره جامد در فاز سیال،  $R$  شاعع کره،  $D_m$  ضریب نفوذ موثر در ذره جامد،  $\epsilon$  ضریب تخلخل بستر و  $k_f$  ضریب انتقال جرم میباشد. پارامتر زمان  $t$  و  $r$  مختصات مکان درون کره است. فرم بدون بعد

گام اول: نیمرخ غلظت ( $C_f(t,z)$ ) در فاز سیال حدس زده می‌شود. بنابراین با این حدس، مقدار  $C_f$  در معادله (۲-ج) در هر بخش بستر، مشخص و معلوم است.

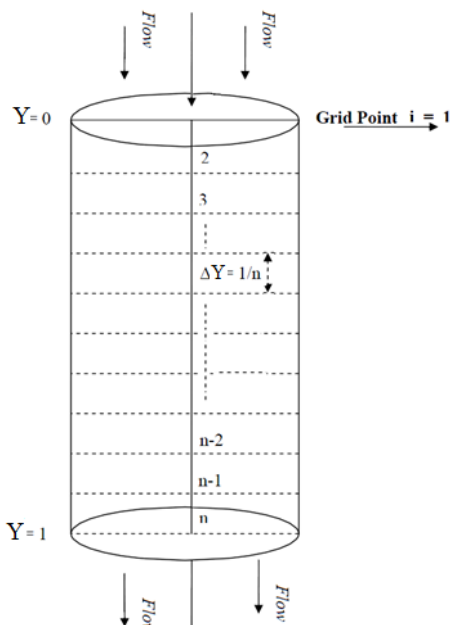
گام دوم: با حل معادله (۲)، نیمرخ غلظت در ذره جامد به دست می‌آید.

گام سوم: با داشتن غلظت حل شونده در سطح ذره که از گام دوم بدست آمده، معادله (۳) حل شده و نیمرخ

غلظت جدیدی در فاز سیال به دست می‌آید.

گام چهارم: نیمرخ غلظت جدید به دست آمده با نیمرخ غلظتی که در ابتدا که حدس زده شده، مقایسه می‌شود.

اگر اختلاف بین دو نیمرخ غلظت کوچک‌تر از معیار همگرایی بود این شیوه برای مرحله زمانی بعدی تایید می‌شود و اگر نه، نیمرخ غلظت حدس زده با مقدار به دست آمده جایگزین شده و حلقه یاد شده ادامه می‌یابد.



شکل ۳- ترتیب نقاط مشبندی برای روش اختلاف محدود.

در مرحله (۲) و (۳) شیوه ضمنی کرنک نیکلسون که بدون شرط پایدار است برای به دست آوردن نیمرخ‌های غلظت در فازهای جامد و سیال به کار گرفته شد. در معادلات (۲) و (۳)، مشتق زمان با تقریب تفاضل پیشرو با خطای مرتبه  $\Delta\tau$  و مشتق‌های مکانی با تقریب تفاضل مرکزی با خطای مرتبه  $[\Delta z]^2$  جایگزین شدند. شکل

$$\frac{\partial C_f}{\partial \tau} = \frac{1}{Pe_b} \frac{\partial^2 C_f}{\partial Y^2} - \frac{\partial C_f}{\partial Y} - St (C_f - c_{fs}) \quad (4)$$

$$\tau = 0, \quad 0 \leq Y \leq 1, \quad C_f = 0 \quad (4-\text{الف})$$

$$\tau > 0, \quad Y = 0^+, \quad C_f - \frac{1}{Pe_b} \frac{\partial C_f}{\partial Y} = 0 \quad (4-\text{ب})$$

$$\tau > 0, \quad Y = 1, \quad \frac{\partial C_f}{\partial Y} = 0 \quad (4-\text{ج})$$

رابطه (۲) و (۴) با رابطه تعادلی خطی بین غلظت در فاز جامد و در فاز آب دمای زیر بحرانی در سطح که به صورت زیر فرض می‌شود حل شد:

$$c_{fs} = k_p C_{ss}^+ \quad (5)$$

$c_{fs}$  غلظت حل شونده در فاز آب دمای زیر بحرانی در سطح ذره،  $C_{ss}^+$  غلظت حل شونده در فاز جامد در تعادل با فاز آب دمای زیر بحرانی و  $k_p$  ضریب تفکیک حجمی حل شونده بین جامد و فاز آب دمای زیر بحرانی می‌باشد. این مقدار برای انسان‌ها در شرایط استخراج با آب زیر بحرانی  $0/55/0$  تخمین زده شده است [۱۲]. معادلات (۲)، (۴) و (۵) به طور همزمان با سه مجھول  $C_f$ ،  $C_s$  و  $C_{fs}$  حل شدند.

#### ۴- شیوه حل

برای حل معادلات با شرایط مرزی و اولیه معلوم، سیستم در فاصله  $0 \leq Z \leq 1$  به  $n$  قسمت مساوی به شکل اختلاف محدود (شکل ۳) تقسیم شد. در هر مرحله (n) فرض می‌شود که همه ذرات شرایط استخراج یکسانی دارند و ترکیب توده سیال (جریان آزاد،  $C_f$ ) یکسان باشد. در واقع استخراج کننده جریان-قالبی پراکنده با یکسری استخراج کننده همزن دار جایگزین می‌شود. با جایگذاری معادله (۴) در معادلات (۲) و (۳)، الگوریتم حل به صورت زیر دنبال می‌شود:

$$Cf_{n+1}^{j+1} = Cf_n^{j+1} \quad (ج)$$

غلظت اسانس روی سطح ذره است که از حل معادله موازنۀ جرم ذره به دست می‌آید. چنانچه از معادلات (۵) و (۶) به نظر می‌آید در دو فاز مجموعه‌ای از معادلات جبری به طور هم‌زمان بایستی حل شوند تا نیم‌رخ غلظت در هر زمان از استخراج به دست آید. در هر دو حالت فاز جامد و فاز زیربحارانی ماتریس‌های سه قطری حاصل می‌شوند که در هر مرحله زمانی به راحتی توسط الگوریتم توماس قابل حل هستند [۱۳].

## ۵- تخمین پارامترهای مدل و خواص فیزیکی

پارامترهای مدل شامل ضریب انتقال جرم به فاز توده، ضریب پراکندگی محوری در فاز زیربحارانی و ضریب نفوذ موثر در فاز جامد می‌باشد که آخرین پارامتر به عنوان پارامتر تنظیم انتخاب می‌شود.

ضریب انتقال جرم فاز توده. ضریب انتقال جرم به صورت زیر با استفاده از رابطه تجربی گزارش شده توسط واکاوی تخمین زده شد [۱۰]:

$$Sh = 2 + 1.1 Sc^{\frac{1}{3}} Re^{0.6} \quad (6)$$

$$\left( \frac{u \rho_f d_p}{\mu_f} \right) \text{ عدد رینولدز } \left( \frac{d_p k_f}{D_m} \right) \text{ عدد شروود } Sh$$

عدد اشمیت ( $Sc = \frac{\mu_f}{\rho_f D_{AB}}$ ) ضریب نفوذ ماده آلی در آب دمای زیربحارانی ( $D_m$ ,  $\text{cm}^2/\text{s}$ )، در حرفره‌های برگ‌های زیتون خرد شده ( $u$ ,  $\text{cm}^2/\text{s}$ )، سرعت ظاهری سیال ( $\rho_f$ ,  $\text{cm}/\text{s}$ ) و  $\mu_f$  به ترتیب چگالی گرانروی سیال ( $g/\text{cm}^3 \cdot \text{s}$ ) و گرانروی سیال ( $g/\text{cm}^3$ ) است.

### ۵-۱- تخمین ضریب نفوذ حل شونده

برای تخمین این مقدار می‌توان از رابطه ویلک و چنج استفاده کرد [۱۴]:

اختلاف محدود معادلات دیفرانسیل حاکم به صورت زیر است:

در فاز جامد:

$$-K_2 Cs_{i-1}^{j+1} + L_2 Cs_i^{j+1} + M_2 Cs_{i+1}^{j+1} = K_2 Cs_{i-1}^j + N_2 Cs_i^j - M_2 Cs_{i+1}^j \quad (6)$$

$$K_2 = \frac{-\beta}{2(\Delta y)^2} + \frac{1}{2y\Delta y}$$

$$L_2 = \frac{1}{\Delta t} + \frac{\beta}{(\Delta y)^2}$$

$$M_2 = \frac{-\beta}{2(\Delta y)^2} - \frac{\beta}{2y\Delta y}$$

$$N_2 = \frac{1}{\Delta t} - \frac{\beta}{(\Delta y)^2}$$

۹

$$Cs_i^j = 1 \quad j = 0 \quad 0 \leq i \leq m + 1 \quad (الف)$$

$$Cs_i^{j+1} = Cs_0^{j+1} \quad (ب)$$

$$Cs_{n+1}^{j+1} = \frac{sh.y.C_f + Cs_n^{j+1}}{1 + sh.y\Delta y} \quad (ج)$$

در فاز فوق داغ:

$$-K_1 C_{f,i-1}^{j+1} + L_1 C_{f,i}^{j+1} + M_1 C_{f,i+1}^{j+1} = -K_1 C_{f,i-1}^j + N_1 C_{f,i}^j - M_1 C_{f,i+1}^j + St C_s \Big|_{X=1} \quad (7)$$

$1 \leq i \leq n$

: که

$$K_1 = \frac{1}{2Pe(\Delta Y)^2} + \frac{1}{4\Delta Y}$$

$$L_1 = \frac{1}{\Delta t} + \frac{1}{2Pe(\Delta Y)^2} + St$$

$$M_1 = -\frac{1}{2Pe(\Delta Y)^2} + \frac{1}{4\Delta Y}$$

$$N_1 = \frac{1}{\Delta t} - \frac{1}{Pe(\Delta Y)^2}$$

۹

$$j = 0 \quad 0 \leq i \leq n + 1 \quad Cf_i^0 = 0 \quad (الف)$$

$$Cf_0^{j+1} = \frac{Cf_1^{j+1}}{1 + (\Delta Y)Pe} \quad (ب)$$

$$D_L = \frac{u dp}{Pe_{pd} \varepsilon} \quad (14)$$

### ۳-۵- خواص فیزیکی

چگالی آب در دما و فشار بالا از ۲۷۳ K، چگالی آب اشباع فرض شد. با برآش داده‌های موجود، رابطه زیر با ۰/۰۶ درصد خطای نسبی به دست آمد:

$$\rho = -0.002733 \times T^2 + 1.353 \times T + 835.4 \quad (15)$$

که  $\rho$  چگالی ( $kg/m^3$ ) و  $T$  دما (K) است.

گرانزوی آب در دمای ۲۷۳ K از روی داده‌های موجود با استفاده از رابطه زیر با ۱/۰۱ درصد خطای نسبی تخمین زده شد:

$$\mu = 6.41 \times 10^4 \exp(-0.03964 \times T) + 2.789 \times \exp(-0.006304 \times T) \quad (16)$$

که  $\mu$  گرانزوی (g/m.s) و  $T$  دما (K) است. فرض شد که گرانزوی و چگالی آب مستقل از فشار باشد.

## ۶- مقایسه نتایج مدل

### ۶-۱- ارزیابی مدل و داده‌های آزمایشگاهی

در تحقیق قبلی استخراج آویشن شیرازی با آب دمای زیر بحرانی در دما، فشار، متوسط اندازه ذرات و شدت جریان به ترتیب ۰°C، ۱۵۰ bar، ۲۰ mm و ml/min انجام شد [۱۱]. جدول ۱ پارامترهای ورودی مورد نیاز برنامه شامل مقدار نمونه، حجم استخراج کننده، غلظت اولیه، قطر ذره و شدت جریان فرآیند را نشان می‌دهد.

جدول ۱- پارامترهای ورودی.

| مقدار                 | پارامتر                |
|-----------------------|------------------------|
| ۴۲۳                   | (K)                    |
| ۲۰                    | (bar)                  |
| $۳/۱ \times ۱۰^{-۳}$  | (kmol/m <sup>3</sup> ) |
| $۵ \times ۱۰^{-۴}$    | متوسط قطر ذره (m)      |
| $۴ \times ۱۰^{-۳}$    | (kg)                   |
| $۱۰/۴ \times ۱۰^{-۶}$ | (m <sup>3</sup> )      |
| ۰/۴                   | تخخل بستر              |
| ۱۵۴                   | (kg/kmol) اسانس        |
| ۰/۵۵                  | ضریب تفکیک حجمی        |

$$D_{AB}^0 = \frac{7.4 \times 10^{-8}}{\mu V_A^{0.6}} (\varphi M_B)^{0.5} T \quad (10)$$

$D_{AB}^0$  ضریب نفوذ حل شونده A در غلظت‌های خیلی کم در حلal B (cm<sup>2</sup>/s)،  $M_B$  وزن ملکولی سیال (g/mol)،  $T$  دما (K)،  $\varphi$  ضریب پیوستگی برای سیال (۰/۲۶ برای آب و ۱/۵ برای اتانول) و  $V_A$  حجم مولی اسانس در نقطه جوش نرمال (cm<sup>3</sup>/mol) می‌باشد.

از رابطه تین کالوس تخمین زده شود:

$$V_A = 0.285 (V_c)^{1.048} \quad (11)$$

که  $V_c$  حجم بحرانی (cm<sup>3</sup>/mol) است که با استفاده از رابطه جوبک و رید (۱۹۸۷) تخمین زده می‌شود [۱۵]. برای محاسبه  $T_c$  اسانس از رابطه گروه سهم عاملی Joback استفاده شد.

مطالعات بسیار کمی روی به دست آوردن داده‌های تغییر در خواص انتقال جرم در ناحیه سیال زیر بحرانی انجام شده است.

هرچند باید روابط ضرایب نفوذ در مایع برون‌یابی و یا توسعه یابد تا قابل کاربرد برای ناحیه سیال زیر بحرانی نیز باشند. مطالعات مناسبی برای پیش‌بینی ضرایب نفوذ در آب دمای زیر بحرانی کمی روی مقایسه مقادیر محاسبه شده اما اطلاعات خیلی کمی روی مقایسه مقادیر محاسبه شده وجود دارد. داده‌های آزمایشگاهی جدید روی ناحیه دمایی محدود برای کربوهیدرات و مونومرهای آمینو اسید استفاده از معادله تین را پیشنهاد می‌کند:

$$\frac{D_{AB}^0(T_2)}{D_{AB}^0(T_1)} = \left( \frac{T_c - T_1}{T_c - T_2} \right)^n \quad (12)$$

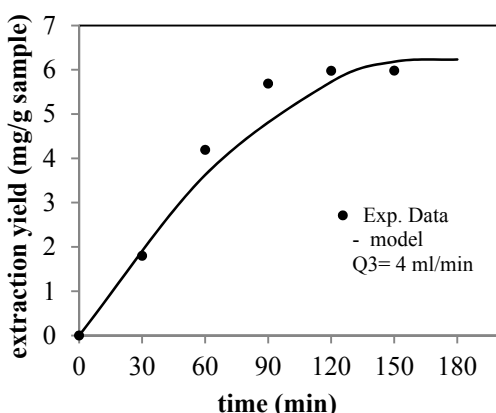
دمای بحرانی حلal  $T_c$  و  $n$  برای آب ۶ است.

### ۶-۲- ضریب پراکندگی محوری در فاز دمای زیر بحرانی

ضریب پراکندگی محوری در فاز زیر بحرانی با استفاده از رابطه زیر تخمین زده می‌شود [۱۰]:

$$Pe_{pd} = 1.634 Re^{0.265} Sc^{-0.919} \quad (13)$$

که:



شکل ۶- مقایسه مدل با داده‌های آزمایشگاهی در شدت جریان  $4\text{ ml/min}$ ، دما، فشار و متوسط اندازه ذرات به ترتیب  ${}^{\circ}\text{C}$   $0.0/5\text{ mm}$ ،  $20\text{ bar}$ ،  $150\text{ }$ .

با توجه به انحراف میانگین داده‌ها، به‌نظر می‌آید که در شدت جریان‌های پایین سازگاری بیشتری بین مدل با داده‌های آزمایشگاهی وجود دارد. به‌دلیل افزایش بازده استخراج با شدت جریان به‌نظر می‌آید در شدت جریان‌های بالا، مقاومت انتقال جرم خارجی ناچیز می‌شود و تنها نفوذ کننده انتقال جرم است. موازنۀ جرم فاز سیال (معادله (۳)) شامل جمله‌ای است که شدت جریان استخراج کننده را در نظر گرفته است. بنابراین همان‌طور که در بالا بیان شد، وقتی استخراج تنها با انتقال جرم خارجی کنترل می‌شود به ندرت معادله (۳) حاکم بوده و سینتیک سیستم غالب است. اگر استخراج با انتقال جرم خارجی از جامد به حلal کنترل شود، افزایش شدت جریان منجر به افزایش سرعت استخراج ماده حل‌شونده می‌شود. بر عکس، اگر استخراج با انتقال جرم داخلی سیستم کنترل شود و تفکیک ترمودینامیکی سرعت استخراج را محدود کند، انتظار می‌رود که افزایش شدت جریان، اثر کمی روی سرعت استخراج ماده حل‌شونده داشته باشد (معادله (۱) شامل ترم شدت جریان نمی‌شود).

## ۲-۶- بررسی اثر دما

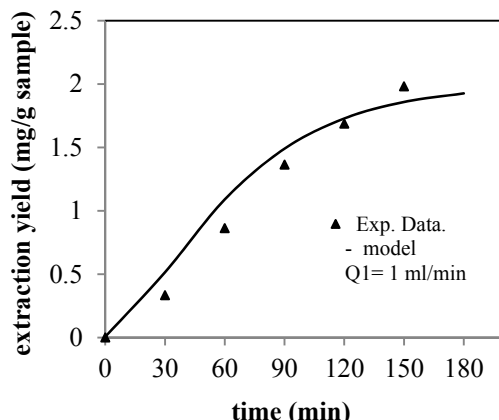
دما نیز یکی از پارامترهای کلیدی در استخراج است. اثر دمای عملیاتی مختلف، روی بازده استخراج در شدت

در شکل‌های ۴ الی ۶ مقایسه داده‌های آزمایشگاهی با مدل در شدت جریان‌های به ترتیب  $1$ ،  $2$  و  $4\text{ ml/min}$  نشان داده شده است.

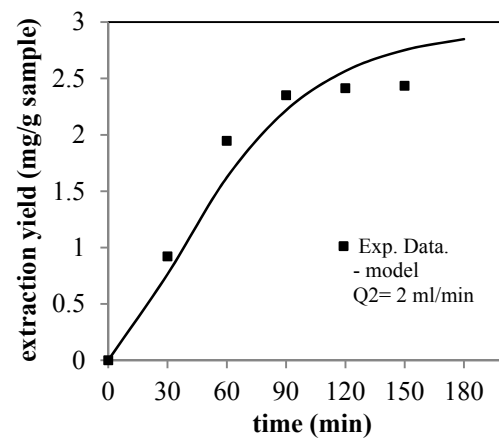
پارامتر تنظیم مدل برای شدت جریان‌های  $1$ ،  $2$  و  $4\text{ ml/min}$  بود. برای ارزیابی انحراف داده‌های آزمایشگاهی از داده‌های پیش‌بینی شده توسط مدل از انحراف متوسط مطلق به صورت زیر استفاده شد:

$$\text{AAD} = \frac{1}{n} \sum_{n=1}^{n=6} |C_{\text{exp}} - C_{\text{model}}| \quad (17)$$

مقدار انحراف متوسط مطلق داده‌ها از مقادیر پیش‌بینی شده توسط مدل برای شدت جریان‌های  $1$ ،  $2$  و  $4\text{ ml/min}$  به ترتیب  $0.073$ ،  $0.180$  و  $0.294$  بود.



شکل ۴- مقایسه مدل با داده‌های آزمایشگاهی در شدت جریان  $1\text{ ml/min}$ ، دما، فشار و متوسط اندازه ذرات به ترتیب  ${}^{\circ}\text{C}$   $0.0/5\text{ mm}$ ،  $20\text{ bar}$ ،  $150\text{ }$ .



شکل ۵- مقایسه مدل با داده‌های آزمایشگاهی در شدت جریان  $2\text{ ml/min}$ ، دما، فشار و متوسط اندازه ذرات به ترتیب  ${}^{\circ}\text{C}$   $0.0/5\text{ mm}$ ،  $20\text{ bar}$ ،  $150\text{ }$ .

## ۷- نتیجه گیری

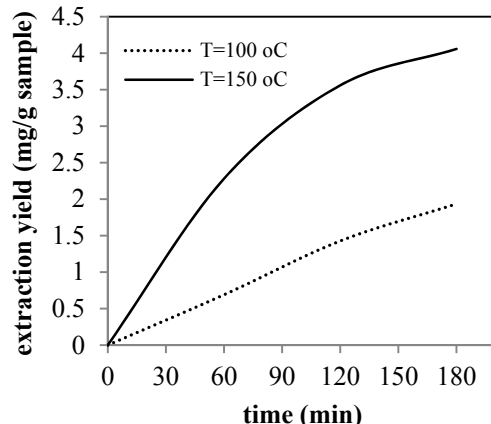
به کارگیری مدل‌های انتقال جرم براساس معادلات موازنۀ جرم برای بخش نازکی از بستر پر شده، قادرند که تحقیق بر چگونگی تأثیر شرایط عملیاتی مختلف روی بازده استخراج و ضریب تفکیک تعادلی را بدون اتلاف زمان و انجام آزمایش‌های هزینه‌بر انجام دهند. همچنین با گرفتن داده‌ها از واحدهای مقیاس آزمایشگاهی، انتقال جرم داخل واحد بزرگ‌تر را تعیین کنند.

مدل ریاضی دو فازی (فاز جامد و فاز دمای زیر بحرانی) با درنظر گرفتن اثر پراکندگی محوری برای شبیه‌سازی بازده استخراج با آب دمای زیر بحرانی پیوسته انسانس آویشن شیرازی به کار گرفته شد. این مدل تا حد نسبتاً خوبی توانایی پیش‌بینی روند استخراج را داشت. اما با توجه به انحراف میانگین داده‌ها، مدل در شدت جریان‌های پایین، پیش‌بینی‌های بهتری را در مقایسه با شدت جریان‌های بالا داشت. نتایج نشان می‌دهند که این مدل، می‌تواند بخوبی برای مطالعات سینتیکی و ارزیابی اثرات شرایط عملیاتی مختلف مانند شدت جریان و دما روی بازده فرآیند استخراج، مورد استفاده قرار گیرد.

### تقدیر و تشکر

نویسنده‌گان این مقاله بر خود لازم می‌دانند از دانشگاه سمنان، به خاطر حمایت‌های مالی برای انجام این آزمایش‌ها و همچنین سازمان پژوهش‌های علمی و صنعتی ایران (IROST) به خاطر همکاری‌های صمیمانه در انجام آزمایش‌ها سپاس‌گزاری نمایند.

جریان، فشار، متوسط اندازه ذرات به ترتیب  $2 \text{ ml/min}$ ،  $20 \text{ bar}$  و  $0.5 \text{ mm}$  در شکل ۷ نشان داده شده است. همان‌طور که در شکل ۷ دیده می‌شود، سرعت و مقدار استخراج انجام شده در دمای  $150^\circ\text{C}$  بطور قابل ملاحظه‌ای بیشتر از دمای  $100^\circ\text{C}$  است. در شرایط دما بالا، مزایای فیزیکی نظیر نفوذ بالا، ویسکوزیتۀ و کشش سطحی پایین بوجود می‌آید. همچنین دمای بالا، افزایش حلایت ترکیبات را به همراه دارد. به عبارتی، می‌توان گفت با افزایش دما انتقال جرم بهتری انجام می‌شود و همین امر، باعث بهبود کارایی استخراج می‌گردد [۱۶]. از طرف دیگر باید توجه داشت که بالا بردن دما، احتمال بروز مشکلاتی نظیر تخریب، تشدید واکنش‌هایی مانند هیدرولیز و اکسیداسیون نمونه را به همراه خواهد داشت. تعیین دمای مناسب استخراج در مورد هر گیاه، به صورت آزمایشگاهی باید تعیین گردد [۱۷].



شکل ۷- مقایسه نتایج مدل در دمای  $100^\circ\text{C}$ ،  $150^\circ\text{C}$  و در شدت جریان، فشار و متوسط اندازه ذرات به ترتیب  $0.5 \text{ mm}$ ،  $20 \text{ bar}$ ،  $2 \text{ ml/min}$ .

### مراجع

- [1] Smith, R.M. (2006). "Superheated water: The ultimate green solvent for separation science". *Anal. Bioanal. Chem.*, Vol. 385, No. 3, pp. 419-421.
- [2] Platonov, I.A., Nikitchenko, N.V., Onuchak, L.A., Arutyunov, Yu. I., Kurkin, V.A., Smirnov, P.V. (2010). "Subcritical water extraction of biologically active substances from Milk Thistle seed (*Silybum murianum* L.)". *Russian Journal of Physical Chemistry B*, Vol. 4, No. 8, pp. 1211–1216.

- [3] Kim, W., Veriansyah, B., Lee, Y., Kim, J. (2010). "Extraction of mangiferin from Mahkota Dewa (*Phaleria macrocarpa*) using subcritical water". *Journal of Industrial and Engineering Chemistry*, Vol. 16, pp. 425–430.
- [4] Ko, M.J., Cheigh, Ch.I., Cho, S.W., Chung, M.S. (2011). "Subcritical water extraction of flavonol quercetin from onion skin". *Journal of Food Engineering*, Vol. 102, pp. 327–333.
- [5] Kubatova, A., Jansen, B., Vaudoisot, J.F., Hawthorne, S.B. (2002). "Thermodynamic and kinetic models for the extraction of essential oil from savory and polycyclic aromatic hydrocarbons from soil with hot (subcritical) water and supercritical CO<sub>2</sub>". *J. Chromatography A.*, Vol. 975, No. 1, pp. 175-188.
- [6] Shotipruk, A., Kiatsongserm, J., Pavassnt, P., Goto, M., Sasaki, M. (2004). "Pressurized hot water extraction of anthraquinones from the roots of *Morinda citrifolia*". *Biotechnol. Prog.*, Vol. 20, pp. 1872-1875.
- [7] Goto, M., Sato, M., Hiroshe, T. (1993). "Extraction of peppermint oil by supercritical carbon dioxide". *Journal of Chemical Engineering of Japan*, Vol. 26, pp. 401-407.
- [8] Dunford, N.T., Goto, M., Temelli, F. (1998). "Modeling of oil extraction with supercritical CO<sub>2</sub> from Atlantic mackerel (*Scomber scombrus*) at different moisture contents". *The Journal of Supercritical Fluids*, Vol. 13, No. 1-3, pp. 303–309.
- [9] Goodarznia, I., Eikani, M.H. (1998). "Supercritical carbon dioxide extraction of essential oils: Modeling and simulation". *Chemical Engineering Science*, Vol. 53, No. 7, pp. 1387-1395.
- [10] Ghoreishi, S.M., Gholami Shahrestani, R. (2009). "Subcritical water extraction of mannitol from olive leaves". *Journal of Food Engineering*, Vol. 93, pp. 474–481.
- [11] Khajenoori, M., Haghghi Asl, A., Hormozi, F., Eikani, M.H., Noori, H. (2009). "Subcritical water extraction of Zataria Multiflora Boiss". *Journal of Food Process Engineering*, Vol. 32, No. 6, pp. 804–816.
- [12] Eikani, M.H., Rowshanzamir, S. (2004). "Modeling and simulation of superheated water extraction of essential oils". *Proceedings of the CHISA-16th International Congress of Chemical and Process Engineering*, pp. 4563-4567.
- [13] Rice, R.G., Do, D.D. (1995). "Applied mathematics and modeling for chemical engineers". John Wiley & Sons, Inc. pp. 576-586.
- [14] Bocquet, S., Romero, J., Sanchez, J., Rios, G.M. (2007). "Membrane contactors for the extraction process with subcritical carbon dioxide or propane: Simulation of the influence of operating parameters". *J. of Supercritical Fluids*, Vol. 41, pp. 246–256.
- [15] Joback, K.G., Reid, R.C. (1987). "Estimation of pure component properties from group contributions". *Chemical Engineering Communication*, Vol. 57, pp. 233-243.
- [16] Del Valle, J.M., De la Fuente, J.C., Srinivas, K., King, J.W. (2011). "Correlation for the variations with temperature of solute solubilities in high temperature water". *Fluid Phase Equilibria*, Vol. 301, pp. 206-216.
- [17] Khajenoori, M., Haghghi Asl, A., Noori-Bidgoli, H. (2013). "Subcritical water extraction of essential Oils from Matricaria Chamomilla L.", *IJE TRANSACTIONS B: Applications*, Vol. 26, No. 5, pp. 489-494.